

## トラス橋の立体安定性に対する横つなぎ材の補剛効果

大阪大学工学部 正員 小松定夫  
大阪大学工学部 正員 口西村宣男

1. まえがき トラス橋の横構・対傾構などの横つなぎ材の構造全体安定に対する補剛効果を弾塑性有限変形解析により調査した。解析法および崩壊に至るまでの力学特性については、後続の発表<sup>1)</sup>に譲り、こゝでは横つなぎ材の耐荷力に対する補剛効果と、この観点から終結する。対象としたトラス形式は単径間のデッキトラスおよびボニートラスで、いずれも幅員の狭い道路の橋梁部に併設される側道橋を念頭に置いている。解析モデルの作成には現行の道路橋示方書に準拠した自動設計プログラムを用いた。この自動設計プログラムでは入力データとしてスパン長、主構高、主構間隔、有効幅員、および鋼種を与えるとパネル分割および各部材断面積が求められる。スパン長40m～100m(ボニートラスは40m～80m)の範囲で数種のモデルを作成した。モデルは主要寸法をスパン長・主構高・主構間隔(例 80-6-2)と表わして区別する。自動設計により作成したモデルを基本モデルと称し、その中の代表的なものについて横つなぎ材の剛性を変えた時の効果を調べた。

### 2. 鋼直荷重に対する上路トラスの耐荷力

上路式トラス橋は原則として上下弦材の高さに2面の横構、各主構格点位置に対傾構を設けることになる。解析モデルはダブルアーチ形式の横構を有しており、鋼直荷重による面内曲げモーメントを横構が一部分担している。表1は基本モデルおよび基本モデルの内の1例80-6-2について横つなぎ材の断面積を変化させた場合の耐荷力および最終状態を示している。また図1には基本モデルの耐荷力とl/bの関係を、図2には耐荷力と横つなぎ材断面積の関係を示した。

### 3. 水平横荷重に対する上路トラスの耐荷力

解析例の耐荷力および最終状態を示した。この計算では水平横荷重と死荷重を同時載荷してある。そして横荷重のみを増加させて耐荷力を求めている。図3に耐荷力とl/bの関係を、図4に耐荷力と横つなぎ材の断面積比の関係を示した。なお二の種のトラスの横つなぎ材は水平横荷重に対する強度設計されてゐる。したがって横つなぎ材断面積を基

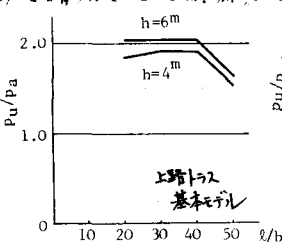


図1 耐荷力-l/b(鉄直荷重)

表1 鉄直荷重に対する耐荷力一欄表

	モデル	l/b	P_u/P_0	最終状態
基本モデル	40-4-2	20	1.85	面内崩壊(斜材)
	40-6-2	20	2.04	同上(強材)
	60-4-2	30	1.92	同上
	60-6-2	30	2.04	同上
	80-4-2	40	1.90	面内(主)面外(従)
	80-6-2	40	2.04	同上
	100-4-2	50	1.53	面外崩壊(斜材)
	100-6-2	50	1.63	同上
断面積変化	80-6-2(1/16)	40	1.99	面内(主)面外(従)
	80-6-2(1/32)	40	1.99	同上
	80-6-2(1/64)	40	1.77	面外崩壊
	80-6-2(0)	40	0.99	同上(弹性座屈)
上横構斜材	80-6-2(1/2)	40	2.04	面内(主)面外(従)
	80-6-2(1/4)	40	1.95	同上
	80-6-2(1/8)	40	1.89	同上
	80-6-2(1/16)	40	1.80	面外崩壊
	80-6-2(1/32)	40	1.41	同上
	80-6-2(0)	40	0.53	同上(弹性座屈)

鉄直荷重に対する場合と同様に、表2に計算では水平横荷重と死荷重を同時に載荷してある。そして横荷重のみを増加させて耐荷力を求めている。図3に耐荷力とl/bの関係を、図4に耐荷力と横つなぎ材断面積比の関係を示した。なお二の種のトラスの横つなぎ材は水平横荷重に対する強度設計されてゐる。したがって横つなぎ材断面積を基

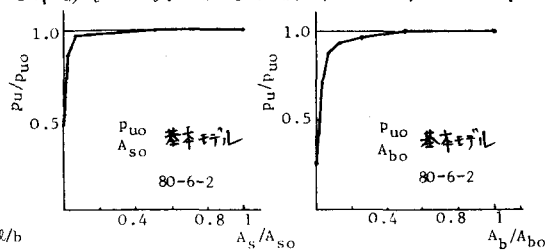


図2 横つなぎ材断面積影響(鉄直荷重上路トラス)

本モデルより減ずることは非現実的であることを断つておく。

#### 4. 鋼直簡重に対するボニートラスの耐荷力

ボニートラスの解析モデルは上弦材の個々の横倒れ座屈に対して 2.0 の安全率を確保するよう設計されている。このことは全体横倒れ座屈的な不安定現象に注目している。表 3 に解析例の耐荷力、最終状態を、図 5 は 60-4-3 につながり横ラーメン剛性を変えた場合の耐荷力の変化、図 6 は耐荷力と  $l/b$  の関係を示す。

**5. 結論** 今回行なった数値解析を総括して以下の結論を得た。(1) 側道上路トラス橋およびボニートラス橋について全体安定性照査を行なうに必要な範囲はそれと  $l/b \geq 40$  および  $l/b = 20$  と考えられる。(2)

この限界値以下の  $l/b$  の場合には、慣用的な方法 図 3 耐荷力  $- l/b$  (上路トラス) で強度設計された横つなぎ材を有しておれば全体安定性に対する横つなぎ材剛性は十分である。(3) 上路式側道橋において、上横構や封隔構を省略する場合には上記の制限値以下の  $l/b$  を有する場合にはも全体安定性照査が極めて重要である。

(4) トラス橋においては斜材に降伏なしでは座屈が生じた後の余耐力は、フレートガーダーと異なりほとんど期待できない。一部の斜材に降伏が生ずると急激な面外変形を生じ崩壊に至る。基本モデル 100-4-2, 100-6-2 はこのような崩壊現象が生じた。(5) 以上の結論は鋼種 SS41 に関するものである。主構に高張力鋼を使用する場合、限界の  $l/b$  は上述の値より小さくなる。

本解析では圧縮部材の座屈は考慮していないが、全体座屈と部材の座屈との相互作用については理論的にも、工学的にも興味深き問題であり、今後解析手法を改良して追跡していくことを考える。

1) 小松、西村、山本：土木学会関西支部年次講演会 I-20, 昭和 54 年 6 月。

表 2 水平横荷重に対する耐荷力一覧表

モデル	$l/b$	$P_u/P_0$	最終状態
基本モデル	40-4-2	20	2.048 面外崩壊(端対傾構)
	40-6-2	20	1.978 同上
	60-4-2	30	1.835 同上
	60-6-2	30	1.777 同上
	80-4-2	40	1.811 面外崩壊(改材)
	80-6-2	40	1.841 同上
中間断面積変化	100-4-2	50	1.443 同上
	100-6-2	50	1.402 同上
	80-6-2 (1/2)	40	1.802 面外崩壊(改材)
	80-6-2 (1/4)	40	1.752 同上
	80-6-2 (1/8)	40	1.397 面外崩壊(対傾構)
	80-6-2 (1/16)	40	0.857 同上
上断面積変化	80-6-2 (1/32)	40	0.584 同上
	80-6-2 (1/64)	40	0.462 同上
	80-6-2 (0)	40	0.341 面外崩壊(弹性座屈)
	80-6-2 (1/8)	40	1.855 面外崩壊(改材)
	80-6-2 (1/4)	40	1.286 面外崩壊(上横構)
	80-6-2 (1/8)	40	0.707 同上
材料化	80-6-2 (1/16)	40	0.341 同上
	80-6-2 (1/32)	40	0.146 同上
80-6-2 (0)			死荷重以下弹性横座屈

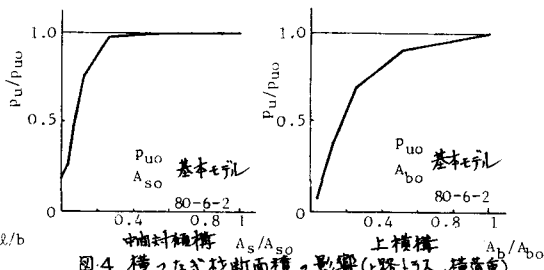


図 4 横つなぎ材断面積の影響(上路入り横荷重)

表 3 ボニートラスの鉄直荷重に対する耐荷力

モデル	$l/b$	$P_u/P_0$	最終状態
基本モデル	40-4-2	20	2.482 面内崩壊
	60-4-2	30	1.535 面外崩壊
	60-4-3	20	1.854 面内(主)面外(従)
	60-4-4	15	1.778 同上
	80-4-2	40	0.854 面外崩壊
	60-4-3 (1/2)	20	1.766 面内(主)面外(従)
横剛性変化	60-4-4 (1/4)	20	1.329 面外崩壊
	60-4-5 (1/16)	20	0.682 同上

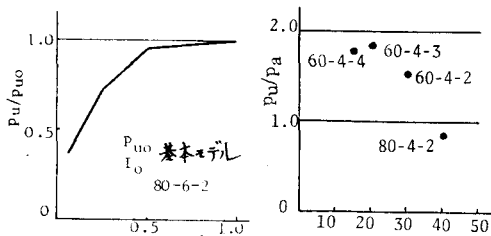


図 5 横剛性の影響  
(ボニートラス鉄直荷重)

図 6 耐荷力  $- l/b$   
(ボニートラス鉄直荷重)